



Laboratory study on stabilization of kaolinite clay with cement and cement kiln dust

S. Ghavami¹, H. Jahanbakhsh², F. Moghadas Nejad²

¹ School of Civil Engineering, Iran University of Science and Technology, Tehran, Iran.

² Department of Civil Engineering and Environmental, Amirkabir University of Technology, Tehran, Iran.

ABSTRACT: Considering the geotechnical problems caused by low strength, clayey soils are important in construction projects. Chemical stabilization with additives such as cement is a common method to improve the engineering properties of clay soils. In spite of the acceptable effects of cement on the strength of soils, the cost of this additive and its destructive effects on the environment should be of concern. This has led the researchers to use by-products and waste materials. Cement Kiln Dust (CKD) is a powdery byproduct of the Portland cement manufacturing process. In this paper, the geotechnical parameters of cement and cement kiln dust stabilized kaolinite clay are compared. For this purpose, Atterberg limits, standard proctor, unconfined compressive strength, and California bearing ratio tests were conducted on specimens containing 5, 10 and 15% cement and CKD (by dry weight of the soil). The results show that the cement and cement kiln dust increase soil strength. It was seen that the unconfined compressive strength of the specimen with 15% CKD is equal to the specimen with 10% cement after 28 days of curing. It is evident from the scanning electron microscopy analysis of specimens containing cement and CKD that calcium silicate and aluminate hydration products reduce the volume of the void spaces and join the soil particles, leading the strength to increase.

Review History:

Received: 10/7/2018

Revised: 11/3/2018

Accepted: 12/17/2018

Available Online: 12/17/2018

Keywords:

Soil Stabilization

Cement

Cement Kiln Dust

Geotechnical Parameters

Scanning Electron Microscope

1. INTRODUCTION

Traditional chemical stabilizing additive such as Portland cement is often used to improve the engineering properties of clay soils with low strength [1-2]. In spite of the acceptable effects of cement on the strength of soils, utilizing a considerable amount of energy, and emission of the massive quantity of air pollutants especially greenhouse gases during the production of cement has led the researchers to use by-products and waste materials such as cement kiln dust (CKD).

Cement kiln dust is a by-product of the cement manufacturing process that collected from electrostatic precipitators during the production of cement clinker [3]. The presence of free lime (CaO), the high alkali content, and the high fineness of CKD make it potentially valuable material for soil stabilization [4].

Kaolinite clay considered as soil with poor properties through low strength [5]. Previous studies have shown that CKD can be used for soil stabilization as an alternative to cement [4, 6, 7]. However, the study on the comparison of the effect of cement and CKD on the geotechnical parameters of kaolinite clay, and statistical analysis of results has not been done so far. Also, this paper will determine how much CKD can be used as an alternative to cement for improving the strength of kaolinite clay.

2. MATERIALS AND METHODS

In this study, commercial kaolinite clay was utilized

*Corresponding author's email: email

as raw soil. The geotechnical properties of the clay were measured according to ASTM standards and are summarized in Table 1. Type II Portland cement and CKD were obtained from the Shahrood cement factory. The compositions of the CKD and cement consist primarily of CaO, SiO₂, Al₂O₃, and Fe₂O₃.

Atterberg limits, standard Proctor, unconfined compressive strength, and California bearing ratio tests were conducted on specimens containing 5, 10 and 15% cement and CKD (by dry weight of the soil). Also, changes in microstructures of soil were observed using SEM analysis.

Table 1. Geotechnical properties of kaolinite clay.

Properties	Value
Liquid limit (LL), %	29.5
Plastic limit (PL), %	21.5
Plasticity index (PI), %	8
Soil classification (USCS)	CL
Specific gravity	2.65
Maximum dry density, kN/m ³	17
Optimum moisture content (%), %	16.2
Unconfined compressive strength, kPa	129
Soaked California bearing ratio, %	3



Copyrights for this article are retained by the author(s) with publishing rights granted to Amirkabir University Press. The content of this article is subject to the terms and conditions of the Creative Commons Attribution 4.0 International (CC-BY-NC 4.0) License. For more information, please visit <https://www.creativecommons.org/licenses/by-nc/4.0/legalcode>.

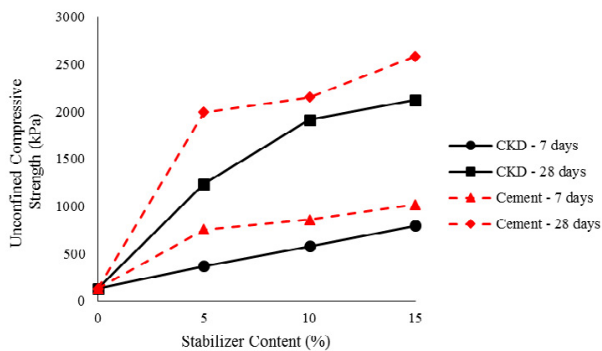


Fig. 1. Effect of addition of cement and CKD on UCS of kaolinite clay after 7 and 28 days curing

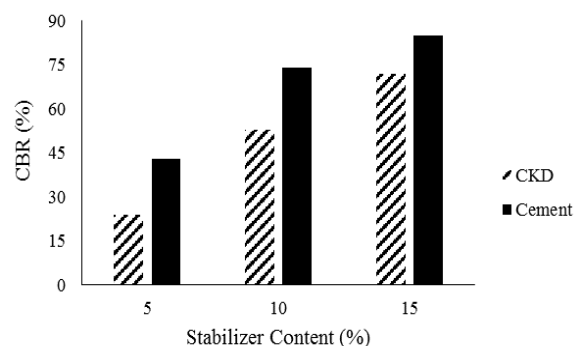


Fig. 2. Variation of CBR of specimens

3. RESULTS AND DISCUSSION

3.1. Atterberg limits

The addition of cement and CKD to soil lead the liquid and plastic limit of stabilized soil to increase. The increase in plastic limit may be attributed to the quantity of water used should be just sufficient to satisfy hydration requirements. Since the plasticity index of kaolinite clay is low, it appears not to change very much due to the addition of cement and CKD.

3.2. Compaction test

Regarding the compaction curve, by increasing the amount of cement and CKD, the maximum dry density (MDD) decreases and optimum moisture content (OMC) increases. The increase in OMC is due to the water-loving nature of the calcium oxide. The MDD appears to decrease because the aggregation of particles due to stabilizer results in larger macropores within the soil. The reduced MDD might also result from the replacement of soil of higher specific gravity with the stabilizer of lower specific gravity.

3.3. Unconfined compressive strength

The effect of cement and CKD on the unconfined compressive strength of the soil at curing periods of 7 and 28 days is shown in Fig. 1. It can be argued that the increase in strength in specimens containing cement is much higher than that of CKD. So that the UCS of the specimen with 15% CKD is approximately equal to the UCS of the specimen with 10% cement after 28 days curing.

During the pozzolanic reaction, high pH environment due to an interaction of stabilizer containing alkalis with soil in the presence of water, causes silica and alumina to be dissolved out of the structure of the clay minerals and to combine with the calcium to form calcium silicate hydrate (C-S-H) or calcium aluminate hydrate (C-A-H). These products in the treated soil were presumed to be the major factor contributing to strength improvements. SEM images also showed the formation of a dense matrix in specimens with cement and CKD resulting from cementitious products.

By the addition of cement and CKD, corresponding strain to peak axial stress decreased. Therefore, treated soils are more brittle compared with raw soil, which can be problematic in dynamic loading. Due to the higher production of C-S-H gel in the soil-cement mixture than the soil-CKD mixture,

specimens with cement display much more brittle behavior.

3.4. California bearing ratio

The soaked California bearing ratio of specimens after 7 days of curing illustrated in Fig. 2. The CBR value of soil improved from 3% to 43, 74 and 85%, resulting from the addition of 5, 10 and 15% cement after 7 days curing time. The addition of 15% CKD increases CBR 24 times relative to untreated soil. The increment in CBR of specimens with cement and CKD may be attributed to the formation of cementitious compounds resulting in bonding between the stabilizer and soil particles.

3.5. Statistical analysis

In this study, a statistical analysis is performed to check if the parameters and their interactions are statistically significant in the performance of cement and CKD treated soils. To this end, the multi-way analysis of variance (ANOVA) with replication was conducted using Minitab 2018 software. Atterberg limits, UCS, and CBR results with three replicates were selected as response variables to study the effect of stabilizers on the geotechnical responses. Also, a significance level of 0.05 ($\alpha = 0.05$) was selected to investigate the null hypothesis. Moreover, the Tukey-Kramer method is used in order to compare all possible pairs of means and find the means that are significantly different from each other. As Tukey-Kramer statistical test says, the UCS and CBR of the specimen with 15% CKD and 10% cement are statistically equal after 28 and 7 days of curing, respectively.

4. CONCLUSIONS

- The following conclusions can be drawn from this study:
- The addition of cement and CKD led the liquid and plastic limit to increase. Since the plasticity index of kaolinite clay is low, it appears not to change very much due to the addition of cement and CKD.
 - Cement and CKD treatment leads to increase the optimum water content and decrease the maximum dry density of treated soils.
 - The addition of cement and CKD enhances unconfined compressive strength and California bearing ratio. The UCS and CBR of the specimen with 15% CKD and 10% cement are statistically equal after 28 and 7 days of

- curing, respectively. Therefore, CKD can be used for the improvement of kaolinite clay as an alternative to cement and reduced cement consumption.
- Treated kaolinite clay with cement is more brittle compared to CKD.

REFERENCES

- [1] E. Basha, R. Hashim, H. Mahmud, A.J.C. Muntohar, b. materials, Stabilization of residual soil with rice husk ash and cement, 19(6) (2005) 448-453.
- [2] M. Asgari, A.B. Dezfuli, M.J.A.J.o.G. Bayat, Experimental study on stabilization of a low plasticity clayey soil with cement/lime, 8(3) (2015) 1439-1452.
- [3] R. Siddique, Waste materials and by-products in concrete, Springer Science & Business Media, 2007.
- [4] S. Peethamparaman, J. Olek, J.J.C. Lovell, c. research, Influence of chemical and physical characteristics of cement kiln dusts (CKDs) on their hydration behavior and potential suitability for soil stabilization, 38(6) (2008) 803-815
- [5] A.J. Alrubaye, M. Hasan, M.Y.J.I.J.o.G.E. Fattah, Stabilization of soft kaolin clay with silica fume and lime, 11(1) (2017) 90-96.
- [6] Z.A.J.E.S. Baghdadi, Jeddah, Scientific Publication Center, King Abdul Aziz University, Utilization of kiln dust in clay stabilization, 2 (1990) 153-163.
- [7] G.A. Miller, S.J.C. Azad, b. materials, Influence of soil type on stabilization with cement kiln dust, 14(2) (2000) 89-97.

HOW TO CITE THIS ARTICLE

S. Ghavami, H. Jahanbakhsh, F. Moghadas Nejad, Laboratory study on stabilization of kaolinite clay with cement and cement kiln dust, Amirkabir J. Civil Eng., 52(4) (2020) 239-242.

DOI: [10.22060/ceej.2018.15100.5829](https://doi.org/10.22060/ceej.2018.15100.5829)





مطالعه آزمایشگاهی مقایسه تثبیت خاک رس کائولینیت با سیمان و غبار کوره سیمان

صادق قوامی جمال^۱، حمید جهانبخش^۲، فریدون مقدس نژاد^{*}

^۱ دانشکده مهندسی عمران، دانشگاه علم و صنعت ایران، تهران، ایران.

^۲ دانشکده مهندسی عمران و محیط‌زیست، دانشگاه صنعتی امیرکبیر، تهران، ایران.

تاریخچه داوری:
دریافت: ۱۳۹۷-۰۷-۱۵
بازنگری: ۱۳۹۷-۰۸-۱۲
پذیرش: ۱۳۹۷-۰۹-۲۶
ارائه آنلاین: ۱۳۹۷-۰۹-۲۶

کلمات کلیدی:
تثبیت خاک
سیمان
غبار کوره سیمان
پارامترهای ژئوتکنیکی
میکروسکوپ الکترونی روبشی

خلاصه: یکی از مسائل مهم در اجرای پروژه‌های عمرانی وجود خاک‌های رسی با مقاومت پایین و مشکلات ژئوتکنیکی ناشی از آن است. تثبیت شیمیایی با مواد افزودنی مانند سیمان از روش‌های متداول بهسازی خاک‌های رسی است. با وجود تاثیر قابل قبول سیمان در بهبود مقاومت خاک، بهدلیل آلودگی‌های زیستمحیطی ناشی از فرایند تولید این ماده، در سال‌های اخیر محققین به دنبال مصالح جایگزین سیمان با آلودگی کمتر و صرفه اقتصادی بوده‌اند. یکی از این مصالح، غبار کوره سیمان است. غبار کوره سیمان یک محصول جانبی تولید سیمان پرتلند است که در محل خروجی گازهای آزاد شده کوره سیمان توسط فیلترهای پارچه‌ای یا رسوب‌کننده الکترواستاتیکی جمع‌آوری می‌شود. در این مقاله به مقایسه پارامترهای ژئوتکنیکی خاک رس کائولینیت تثبیت شده با سیمان و غبار کوره سیمان پرداخته می‌شود. به‌ایمن‌نظر آزمایش‌های حدود اتیربرگ، تراکم، مقاومت فشاری محصورنشده و نسبت باربری کالیفرنیا بر نمونه‌های حاوی ۵، ۱۰ و ۱۵ درصد سیمان و غبار کوره سیمان (نسبت به وزن خشک خاک) انجام شد. نتایج نشان داد که سیمان و غبار کوره سیمان مقاومت خاک را افزایش می‌دهند و مقاومت فشاری محصورنشده نمونه با ۱۵ درصد غبار کوره سیمان برابر با مقاومت نمونه با ۱۰ درصد سیمان پس از ۲۸ روز عمل آوری می‌باشد. آنالیز میکروسکوپ الکترونی روبشی نمونه‌های حاوی سیمان و غبار کوره سیمان نشان داد که بهدلیل تشکیل ژل کلسیم سیلیکات هیدرات، حفره‌ها کاهش یافته و اتصال بین ذرات خاک بیشتر شده‌است که منجر به افزایش مقاومت می‌گردد.

مطالعات نشان می‌دهد تثبیت شیمیایی خاک رس با سیمان،

موجب کاهش پلاستیسیته و افزایش مقاومت و ظرفیت باربری خاک می‌شود [۲-۵]. تغییر خصوصیات خاک با افزودن سیمان ناشی از واکنش شیمیایی سیمان و آب است که هیدراسیون نامیده می‌شود. تری کلسیم سیلیکات، دی کلسیم سیلیکات و تری کلسیم آلومینات از ترکیب‌های اصلی موجود در سیمان هستند [۶]. کلسیم سیلیکات‌های موجود در سیمان با هیدراته شدن، ترکیبات کلسیم هیدروکسید و کلسیم سیلیکات‌هیدرات (C-S-H) را به وجود می‌آورند. تری کلسیم آلومینات با آب و کلسیم هیدروکسید واکنش انجام داده و کلسیم آلومینات‌هیدرات (C-A-H) ایجاد می‌کند. به علاوه کلسیم هیدروکسید آزادشده می‌تواند با سیلیکات و آلومینات موجود در خاک واکنش داده و محصولات سیمانی ثانویه (C-S-H)

۱- مقدمه رشد جمعیت و افزایش شهرنشینی منجر به کمبود زمین‌های مناسب برای احداث زیرساخت‌ها و سازه‌ها شده‌است. یکی از متداول‌ترین مشکلات ژئوتکنیکی در مهندسی عمران، احداث سازه بر خاک‌هایی با ظرفیت باربری پایین مانند خاک‌های رسی است. تثبیت شیمیایی این خاک‌ها با استفاده از مواد افزودنی مانند سیمان و آهک از دیگر باز به‌منظور بهسازی و بهبود مشخصات فنی خاک مورد توجه قرار گرفته است. میزان بهبود پارامترهای خاک، به نوع خاک و نوع و مقدار افزودنی بستگی دارد. شاخص پلاستیسیته و دانه‌بندی خاک می‌تواند به انتخاب افزودنی مناسب برای خاک مورد نظر کمک کند [۱].

* نویسنده عهددار مکاتبات: moghadas@aut.ac.ir

حقوق مؤلفین به نویسنده‌گان و حقوق ناشر به انتشارات دانشگاه امیرکبیر داده شده است. این مقاله تحت لیسانس آفرینندگی مردمی (Creative Commons License) در دسترس شما قرار گرفته است. برای جزئیات این لیسانس، از آدرس <https://www.creativecommons.org/licenses/by-nc/4.0/legalcode> دیدن فرمائید.



برابر نمونه‌های خاک خالص افزایش می‌یابد [۱۲]. مطالعات نشان می‌دهد که با افزودن غبار کوره سیمان، افزایش مقاومت خاک‌های با پلاستیسیته پایین نسبت به خاک‌های با پلاستیسیته بالا بیشتر است [۱۴].

خاک رس کائولینیت به عنوان خاکی ضعیف با مقاومت پایین و ظرفیت برابری کم در نظر گرفته می‌شود [۱۹]. با توجه به پایین بودن شاخص پلاستیسیته کانی کائولینیت، به منظور ثبیت این خاک‌ها استفاده از مصالح سیمانی مناسب می‌باشد [۱]. در تحقیقات گذشته، غبار کوره سیمان به عنوان مصالح جایگزین سیمان در ثبیت خاک معرفی شده‌است؛ اما مطالعه‌ای در زمینه مقایسه تاثیر این دو ماده بر پارامترهای ژئوتکنیکی خاک رس کائولینیت و آنالیز آماری نتایج، تاکنون انجام نشده‌است که در این مقاله به آن پرداخته می‌شود. همچنین در این تحقیق مشخص خواهد شد چه میزان غبار کوره سیمان می‌تواند جایگزین سیمان مصرفی جهت ثبیت رس کائولینیت شود. به‌این‌منظور پس از افزودن ۵، ۱۰ و ۱۵ درصد ماده افزودنی (نسبت به وزن خشک خاک) به خاک رس، آزمایش‌های حدود اتربرگ، تراکم، مقاومت فشاری محصور‌شده (UCS) و نسبت باربری کالیفرنیا (CBR) بر نمونه‌ها انجام شد. در انتها با استفاده از آنالیز میکروسکوپ الکترونی روبشی (SEM)، تغییرات ریزساختاری ناشی از تولید محصولات سیمانی مشاهده شد.

٢ - مصالح

خاک مصرفی در این تحقیق، رس کافولینیت بوده که از شرکت صنایع خاک چینی ایران تهیه گردید. منحنی دانه‌بندی خاک در شکل ۱ نشان داده شده است. جدول ۱ خصوصیات خاک مورد استفاده را نشان می‌دهد. خاک مورد نظر بر اساس منحنی دانه‌بندی و طبق سیستم طبقه‌بندی متعدد در رده خاک‌های رسی با پلاستیسیته پایین (CL) قرار می‌گیرد. ترکیبات شیمیایی خاک که از آنالیز طیف‌نگاری فلورسانس اشعه ایکس (XRF) به دست آمده در جدول ۲ آورده شده است. به‌منظور شناسایی کانی‌های تشکیل‌دهنده این خاک آزمایش XRD انجام شد که بر اساس نتایج این آزمایش، عمدۀ کانی‌های تشکیل‌دهنده خاک مورد بررسی کافولینیت، کوارتز و کلسیت تعیین گردید (شکا، ۲).

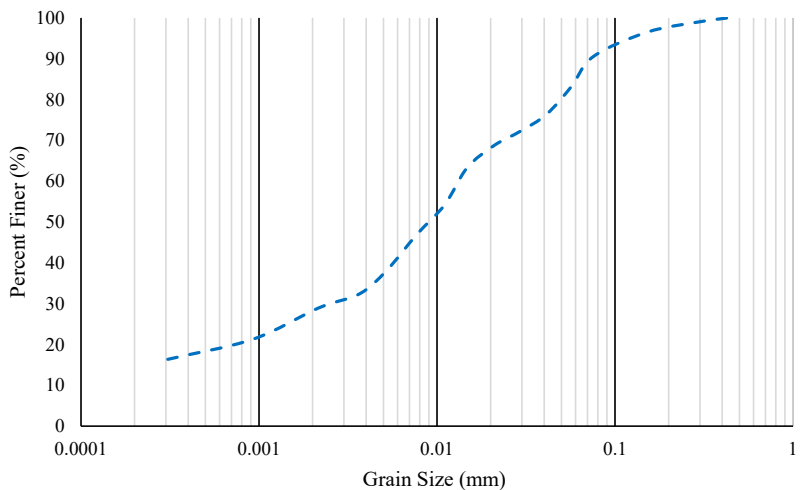
سیمان پرتلند (نوع ۲) و غبار کوره سیمان استفاده شده از

(C-A-H) تولید کند [۷]؛ بنابراین ترکیبات معدنی موجود در خاک بر تغییر پارامترهای رُؤوتکنیکی خاک تثبیت شده با سیمان تاثیرگذار است [۸]. تشکیل ژل های کلسیم سیلیکات هیدرات و کلسیم آلومینات هیدرات موجب پر شدن فضای خالی بین ذرات و افزایش مقاومت خاک می شود [۳ و ۵ و ۸].

امروزه استفاده از مواد شیمیایی مانند سیمان با وجود تاثیر قابل قبول در بهبود مشخصات مهندسی خاک، بهدلیل آلودگی‌های زیست محیطی ناشی از فرایند تولید این ماده، مورد انتقاد بسیاری قرار گرفته است. صنعت سیمان بیش از ۷-۵ درصد انتشار آلاینده کربن دی‌اکسید در جهان را شامل می‌شود به طوری که در تولید یک تن سیمان ۰/۸ الی ۱ تن کربن دی‌اکسید تولید و انتشار می‌یابد [۱۱-۹]. به علاوه برای تولید یک تن سیمان به ۱/۵-۱/۶ تن مواد خام و مصرف ۳۰۰۰-۴۰۰۰ مکارژول انرژی سوخت و ۱۲۰-۱۶۰ کیلووات انرژی الکتریکی نیاز است [۹ و ۱۱]؛ بنابراین اتخاذ راه کارهایی به منظور کاهش مصرف مواد خام و به دنبال آن مصرف انرژی و آلودگی ناشی از تولید سیمان از جنبه زیست محیطی بسیار اهمیت دارد. در این راستا استفاده از مصالح جایگزین سیمان توسط محققین موردن توجه قرار گرفته است. یکی از این مصالح، غبار کوره سیمان^۱ (CKD) است که نتایج مطالعات گویای بهبود خواص مهندسی خاک در صورت استفاده از این ماده به عنوان افزودنی می‌باشد [۱۵-۱۲].

غبار کوره سیمان یک محصول جانبی تولید سیمان است. در فرایند تولید سیمان پرتلند در محل خروج گازها از کوره، مقدار زیادی غبار جمع می‌شود که مقدار کمی از این غبار بازیابی شده و به منظور صرفه‌جویی در سوخت، مجدد وارد کوره می‌شود و مقدار زیادی از آن‌ها دفع می‌گردد. خواص فیزیکی و شیمیایی CKD می‌تواند در کارخانه‌های مختلف متفاوت باشد که بستگی به مواد خام، نحوه جمع‌آوری ذرات و نوع سوخت استفاده شده، دارد [۱۶].

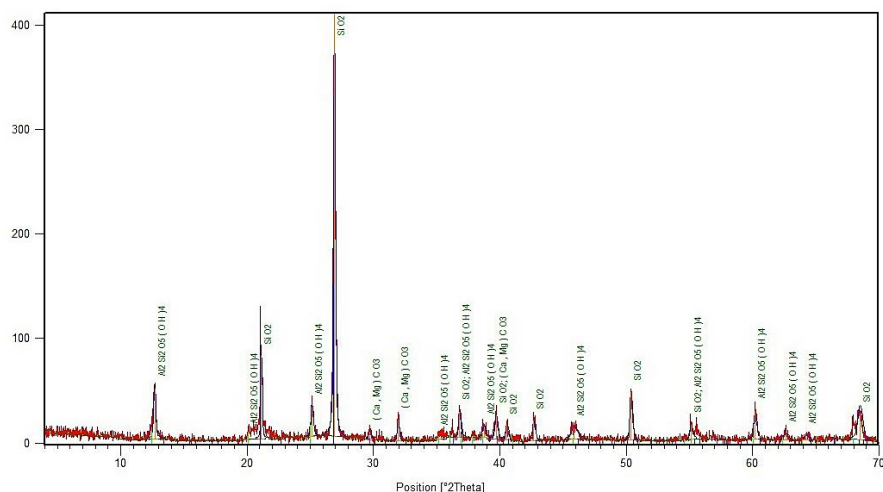
وجود آهک آزاد (CaO), ترکیبات قلیایی و ریزی ذرات غبار کوره سیمان موجب شده است که از این ماده در تثبیت خاک‌ها استفاده شود [۱۷]. اولین تحقیقات در زمینه استفاده از غبار کوره سیمان به منظور تثبیت خاک‌های رسی در سال ۱۹۷۱ انجام شد [۱۸]. در یک بررسی مشخص شد که مقاومت فشاری محصور نشده نمونه‌های رسی حاوی ۱۶ درصد CKD پس از ۲۸ روز عمل آوری به بیش از



شکل ۱. منحنی دانه‌بندی خاک رس کائولینیت
Fig. 1. Grain size distribution of the kaolinite clay

جدول ۱. مشخصات ژئوتکنیکی خاک

مقدار	استاندارد	پارامتر
۲۹/۵	ASTM D4318 [۲۱]	حد روانی (LL)، %
۲۱/۵	ASTM D4318 [۲۱]	حد خمیری (PL)، %
۸	ASTM D4318 [۲۱]	شاخص پلاستیسیته (PI)، %
CL	ASTM D2487 [۲۲]	نام خاک در سیستم طبقه‌بندی متحده
۲/۶۵	ASTM D854 [۲۳]	چگالی و پژوهش
۱۷	ASTM D698 [۲۴]	دانسیته خشک حد اکثر، kN/m^3
۱۶/۲	ASTM D698 [۲۴]	درصد رطوبت بهینه، %
۱۲۹	ASTM D2166 / D2166M [۲۵]	مقاومت فشاری محصور نشده، kPa
۳	ASTM D1883 [۲۶]	نسبت باربری کالیفرنیا در حالت اشبعاً، %



شکل ۲. نمودار آزمایش XRD خاک

جدول ۲. ترکیبات شیمیایی مصالح مصرفی
Table 2. Chemical composition of materials

ترکیب	خاک رس	سیمان پرتلند	غبار کوره سیمان
SiO_2	۷۲/۵	۲۱/۱۱	۶/۷
Al_2O_3	۱۸/۰۷	۴/۴۲	۱/۳
Fe_2O_3	۰/۳۶	۳/۹۶	۲/۲
CaO	۱/۱۵	۶۲/۳۶	۶۷/۹
MgO	۰/۶۱	۱/۵۱	۱/۱
SO_3	۰/۰۶	۲/۶۱	۱/۶
K_2O	۰/۳۹	۰/۵۱	۴/۴
Na_2O	۰/۲۵	۰/۳۸	۰/۴۸
ترکیبات دیگر	۰/۶۱	۰/۱۲	۳/۰۲
درصد افت ناشی از حرارت	۶	۲/۰۲	۱۱/۳

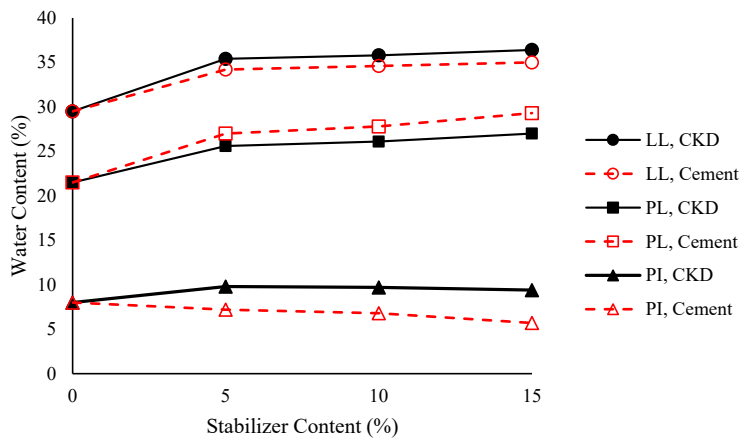
با دست به صورت همگن مخلوط شد تا مخلوط به رنگ یکنواخت برسد. حدود اتربرگ (حد روانی (LL) و حد خمیری (PL)) نمونه‌ها بر اساس استاندارد ASTM D4318 [۲۱] تعیین شد. از آنجا که مشخصه‌های تراکمی (دانسیته خشک حداقل و درصد رطوبت بهینه) تاثیر به‌سزایی بر خصوصیات مهندسی خاک مانند مقاومت، تراکم‌پذیری و نفوذپذیری دارد، نمونه‌های ثبت شده تحت آزمایش تراکم طبق استاندارد ASTM D698 [۲۴] قرار گرفتند. در این آزمایش نمونه‌ها در ۳ لایه و ۲۵ ضربه با انرژی ۶۰۰ کیلونیوتن متر بر مترمکعب در قالبی به قطر ۱۰/۱۶ میلی‌متر و با چکشی به وزن ۲۴/۴ نیوتون که از ارتفاع ۳۰/۵ میلی‌متر رها می‌شود متراکم شدند.

به‌منظور انجام آزمایش مقاومت فشاری محصور نشده طبق استاندارد ASTM D2166 [۲۵]، با توجه به ابعاد قالب نمونه تک محوری (قطر ۳۸ میلی‌متر و ارتفاع ۷۶ میلی‌متر) مقدار مشخصی خاک خشک با درصدهای مختلف افزودنی به‌طور همگن مخلوط شد. سپس آب به مقدار رطوبت بهینه به‌دست آمده از آزمایش تراکم به ترکیب اضافه شد و در هنگام اختلاط مصالح دقیق شد تا توده‌ای در خاک ایجاد نشود. پس از آن، نمونه‌ها با تراکم ۹۵ درصد دانسیته خشک حداقل در قالب، متراکم شدند. پس از خارج کردن نمونه‌های استوانه‌ای شکل از قالب، یک لایه سلفون به‌دور آن‌ها پیچیده شد و

کارخانه سیمان شاهروд تهیه گردید. جدول ۲ ترکیبات شیمیایی این مصالح را نشان می‌دهد. همان‌طور که مشاهده می‌شود در سیمان و غبار کوره سیمان ترکیبات CaO , Al_2O_3 , SiO_2 و Fe_2O_3 به مقدار قابل توجهی وجود دارد؛ اما ترکیبات قلایی K_2O و Na_2O در غبار کوره سیمان بیشتر از سیمان است. مطالعات نشان می‌دهد برای این که یک ماده به عنوان ثابت کننده، مؤثر در نظر گرفته شود باید مدول هیدراسیون (نسبت CaO به مجموع مقادیر SiO_2 و Al_2O_3) بزرگ‌تر از ۱/۷ باشد [۱۵ و ۲۰]. با توجه به جدول ۲ مدول هیدراسیون برای CKD استفاده شده در این تحقیق بیشتر از ۱/۷ است.

۳- آزمایش‌ها

مرور ادبیات فنی نشان می‌دهد که مقدار مورد بررسی سیمان و غبار کوره سیمان در زمینه ثابت خاک معمولاً به ترتیب ۰ تا ۱۲ درصد و ۰ تا ۲۰ درصد بوده است [۲، ۱۴، ۱۵ و ۲۷]. مقدار غبار کوره سیمان به‌منظور ثابت مقرر به‌صرفه، ۱۵ درصد در نظر گرفته شده است [۱۴]. بنابراین برای ساخت نمونه‌ها، درصدهای مختلف سیمان و غبار کوره سیمان به مقدار ۵، ۱۰ و ۱۵٪ (نسبت به وزن خشک خاک) انتخاب شد و پس از اضافه شدن به خاک



شکل ۳. اثر سیمان و غبار کوره سیمان (CKD) بر حدود اتربرگ خاک رس کائولینیت
Fig. 3. Effect of cement and CKD addition on Atterberg limits of kaolinite clay

خمیری می‌تواند ناشی از افزایش مقدار آب موردنیاز برای فرایند هیدراسیون باشد. با توجه به این که شاخص پلاستیسیته خاک پایین است ($PI = 8$)، تغییرات ایجادشده در PI قابل توجه نمی‌باشد. با افزودن غبار کوره سیمان شاخص پلاستیسیته ابتدا کمی افزایش و سپس کاهش می‌یابد. مشابه این روند در مطالعات محققین دیگر نیز گزارش شده است [۱۴ و ۱۵]. افزایش اولیه پلاستیسیته خاک با افزودن ۵ درصد CKD را می‌توان ناشی از بیشتر بودن سطح ویژه ذرات غبار کوره سیمان نسبت به خاک رس دانست. در مقادیر کم، CKD بین ذرات رس قرار گرفته و نفوذپذیری نمونه کاهش می‌یابد و به دنبال آن آب محصور شده توسط ذرات بیشتر می‌شود که منجر به افزایش ناچیز در شاخص پلاستیسیته خاک مخلوط با غبار کوره سیمان می‌گردد. با افزودن مقادیر بیشتر CKD، یون‌های دو ظرفیتی کلسیم جایگزین کاتیون‌های تک ظرفیتی موجود در رس می‌شوند و بازگردانی اطراف ذرات رس تغییر می‌کند. این امر منجر به افزایش جاذبه بین ذرات و به دنبال آن فلوکولاسیون و تجمع می‌شود و کاهش پلاستیسیته خاک را به دنبال دارد. کارایی خاک‌ها با کاهش شاخص پلاستیسیته، بهبود می‌یابد؛ بنابراین افزودن درصد بالای CKD باعث کارایی بهتر این خاک‌ها در حین ساخت می‌شود. با افزودن سیمان به خاک تولید محصولات سیمانی باعث تغییر بافت خاک شده و اندازه مؤثر دانه‌ها را افزایش می‌دهد در نتیجه مقدار رطوبت جذب شده به این ذرات کاهش یافته و پلاستیسیته خاک کمتر می‌شود. ۱۵ درصد سیمان شاخص پلاستیسیته خاک رس کائولینیت را حدود ۲۸ درصد کاهش داد.

در داخل کیسه پلاستیکی در دمای $23 \pm 1/7$ درجه سانتی‌گراد قرار گرفتند تا مدت عمل آوری ۷ و ۲۸ روزه طی شود. نمونه‌ها برای آزمایش نسبت باربری کالیفرنیا در شرایط اشبع طبق استاندارد ASTM D1883 [۲۶] در قالب CBR با انرژی مشابه آزمایش تراکم استاندارد کوبیده شدند. سپس پس از ۷ روز عمل آوری در شرایط مشابه با نمونه‌های تکمحوری، تحت بارگذاری قرار گرفتند.

جهت بررسی بیشتر تاثیر سیمان و غبار کوره سیمان بر ساختار و ساختمان خاک، نمونه خاک خالص و نمونه‌های حاوی ۱۵ درصد سیمان و غبار کوره سیمان به وسیله میکروسکوپ الکترونی روبشی با بزرگنمایی ۵۰۰۰، تحت عکسبرداری قرار گرفتند. نمونه‌ها پس از آماده‌سازی و اختلاط در درصد رطوبت بهینه در قالب تکمحوری بازسازی شدند و به مدت ۲۸ روز در پوشش پلاستیکی در شرایط عمل آوری مشابه نمونه‌های آزمایش تکمحوری قرار گرفتند. پس از دوره عمل آوری عکسبرداری بر تکه‌ای به ابعاد حدود ۱ سانتی‌متر مکعب از وسط نمونه صورت گرفت.

۴- بیان و تحلیل نتایج

۴-۱- آزمایش حدود اتربرگ

نتایج آزمایش حدود اتربرگ در شکل ۳ نشان داده شده است. این مقادیر، میانگین نتایج آزمایش‌های حد روانی و حد خمیری بر ۳ نمونه از هر طرح اختلاط می‌باشد. با افزودن سیمان و غبار کوره سیمان حد روانی و حد خمیری افزایش می‌یابد. افزایش حد

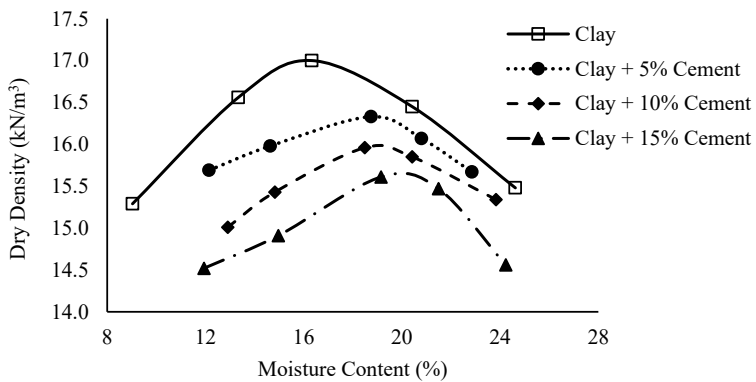
جدول ۳. آنالیز آماری بر نتایج آزمون حدود اتربرگ
Table 3. Statistical analysis of results of Atterberg limits tests

آزمون	نتایج آزمون آنالیز واریانس				نتایج آزمون مقایسه گروهی Tukey-Kramer						
	Adj. MS	F-Value	P-Value								
حد روانی	ثبتیت‌کننده	۹۴/۲۲۶	۲۷/۲۱	.۰/۰۰۰	CKD15	A					
			C15	.۰/۱۷۱	CKD10	A	B				
			C10	.۰/۶۵۴	CKD5	A	B				
			C5	.۰/۶۰۶	C15	A	B				
			CKD15	.۰/۰۰۰	C10	A	B				
			CKD10	.۰/۰۰۴	C5		B				
			CKD5	.۰/۰۲۹	Raw			C			
حد خمیری	ثبتیت‌کننده	۱۷/۸۹	۹۹/۴۳	.۰/۰۰۰	C15	A					
			C15	.۰/۰۰۰	C10		B				
			C10	.۰/۰۰۰	C5		B	C			
			C5	.۰/۰۱۰	CKD15		B	C			
			CKD15	.۰/۰۱۰	CKD10			C	D		
			CKD10	.۰/۳۲۱	CKD5				D		
			CKD5	.۰/۰۰۶	Raw				E		
شاخص پلاستیسیته	ثبتیت‌کننده	۷/۷	۳۳/۲۹	.۰/۰۰۰	CKD5	A					
			C15	.۰/۰۰۰	CKD10	A					
			C10	.۰/۰۰۰	CKD15	A					
			C5	.۰/۰۰۴	Raw		B				
			CKD15	.۰/۰۰۰	C5		B				
			CKD10	.۰/۰۰۰	C10		B	C			
			CKD5	.۰/۰۰۰	C15			C			

که نتیجه‌گیری شود یک پارامتر مؤثر خواهد بود در صورتی که هیچ تاثیر قابل ملاحظه‌ای رؤیت نشده باشد. مقدار p-value کمتر از ۰/۰۵ فرضیه صفر را نقض کرده و از لحاظ آماری این معنی را دارد که پارامتر مورد نظر تاثیر قابل ملاحظه دارد. اگر آزمون نشان دهد که میان ثابتیت‌کننده‌ها تفاوت معنی داری وجود دارد، روش Tukey-Kramer به منظور مقایسه تمام جفت‌های ممکن استفاده می‌گردد که نتایج آن در پژوهش حاضر مورد بررسی قرار گرفته است. در تمام جداول مربوط به آنالیز آماری برای خاک خالص از عبارت Raw، سیمان از C و غبار کوره سیمان از CKD استفاده شده است که عدد مربوط به درصد ثابتیت‌کننده مورد استفاده نیز در مقابل آن بیان گردیده است.

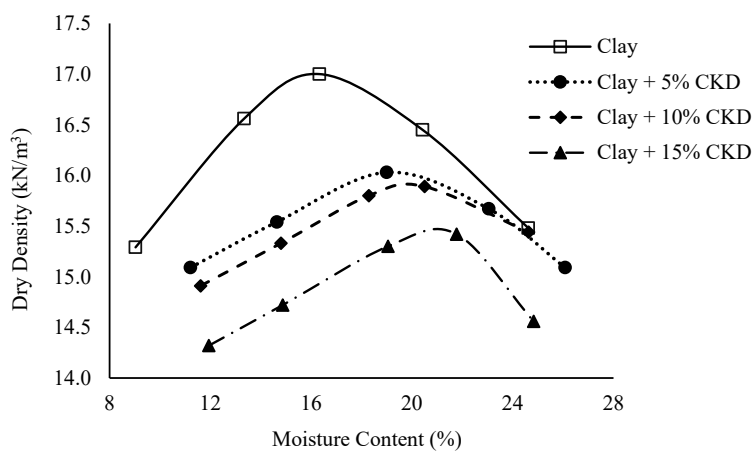
نتایج آنالیز آماری انجام شده بر نتایج آزمون حدود اتربرگ در جدول ۳ ارائه گردیده است. این نتایج با آنالیز آماری بر روی ۳ تکرار

هم‌چنان در این مطالعه بهمنظور ارزیابی آماری تاثیر ثابتیت‌کننده‌های به کار برده شده و بررسی اینکه آیا پارامترها و تعاملات آن‌ها از نظر آماری قابل توجه می‌باشد یا خیر، یک تجزیه و تحلیل آماری صورت گرفت. برای این منظور، آنالیز واریانس چندگانه به همراه تکرار که به عنوان آزمون ANOVA چند عاملی نیز شناخته می‌شود مورد استفاده قرار گرفت. جهت انجام این مهم، بسته به نرم‌افزاری Minitab نسخه سال ۲۰۱۸ مورد استفاده قرار گرفت. حد روانی، حد خمیری و شاخص پلاستیسیته به عنوان متغیرهای پاسخ انتخاب شد تا تاثیر ثابتیت‌کننده‌ها بر خصوصیات پلاستیسیته خاک بررسی گردد. هم‌چنان، سطح معنی‌داری $\alpha = 0.05$ برای بررسی فرضیه صفر (تمام نمونه‌ها از نظر آماری یکسان هستند) انتخاب شد. سطح اطمینان ۹۵٪ به صورت معمول در تحلیل‌های آماری به کار می‌رود که نشان می‌دهد ۵ درصد ریسک وجود دارد



شکل ۴. منحنی آزمایش تراکم برای خاک ترکیب شده با درصد های مختلف سیمان

Fig. 4. Moisture-density relationships of cement-treated soil



شکل ۵. منحنی آزمایش تراکم برای خاک ترکیب شده با درصد های مختلف غبار کوره سیمان (CKD)

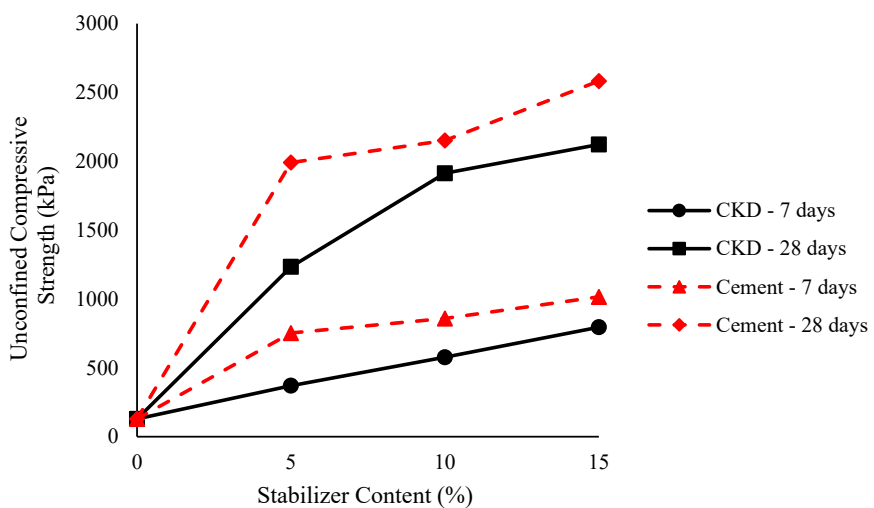
Fig. 5. Moisture-density relationships of CKD-treated soil

داده ($p-value < 0.05$) که این افزایش با افزودن درصد بیشتر غبار نیز افزایش یافته است. غبار کوره سیمان همچنین توانسته به صورت معناداری حد خمیری خاک را افزایش دهد اما همان طور در قبل بحث شد این اثر کمتر از تاثیر سیمان است و در مقایسه گروهی حد خمیری خاک را افزایش داده که این افزایش با زیاد شدن درصد سیمان نیز بیشتر گردیده است. مطابق نتایج حد روانی و حد خمیری همان طور که انتظار می‌رود افزودن سیمان به خاک افزایش درصد سیمان نیز بیشتر گردیده است. مطابق نتایج حد روانی و حد خمیری همان طور که انتظار می‌رود افزودن سیمان به خاک به صورت قابل توجه شاخص پلاستیسیته خاک را کاهش داده است نتیجه همان طور که آنالیز آماری نتایج شاخص پلاستیسیته نشان داده افزودن غبار کوره سیمان شاخص پلاستیسیته را افزایش داده ولی با افزایش درصد این تثبیت کننده مقدار شاخص پلاستیسیته کاهش یافته که به خوبی در نتایج مقایسه گروهی قابل روئیت است.

۴-۲- آزمایش تراکم

منحنی آزمایش تراکم برای نمونه های ترکیب شده با درصد های مختلف سیمان و غبار کوره سیمان به ترتیب در شکل های ۴ و ۵ نشان

برای هر نمونه مورد ارزیابی قرار گرفت. در بررسی تاثیر تثبیت کننده سیمان در درصد های مختلف نتایج نشان می دهد که سیمان بر حد روانی خاک اثر معنی داری نداشت ($p-value > 0.05$). بر خلاف حد روانی افزودن سیمان به خاک به صورت قابل ملاحظه ای حد خمیری خاک را افزایش داده که این افزایش با زیاد شدن درصد سیمان نیز بیشتر گردیده است. مطابق نتایج حد روانی و حد خمیری همان طور که انتظار می‌رود افزودن سیمان به خاک به صورت قابل توجه شاخص پلاستیسیته خاک را کاهش داده است نیز ارائه گردیده است. همان طور که آنالیز آماری نشان می دهد افزودن غبار کوره سیمان حد روانی خاک را به میزان قابل ملاحظه افزایش

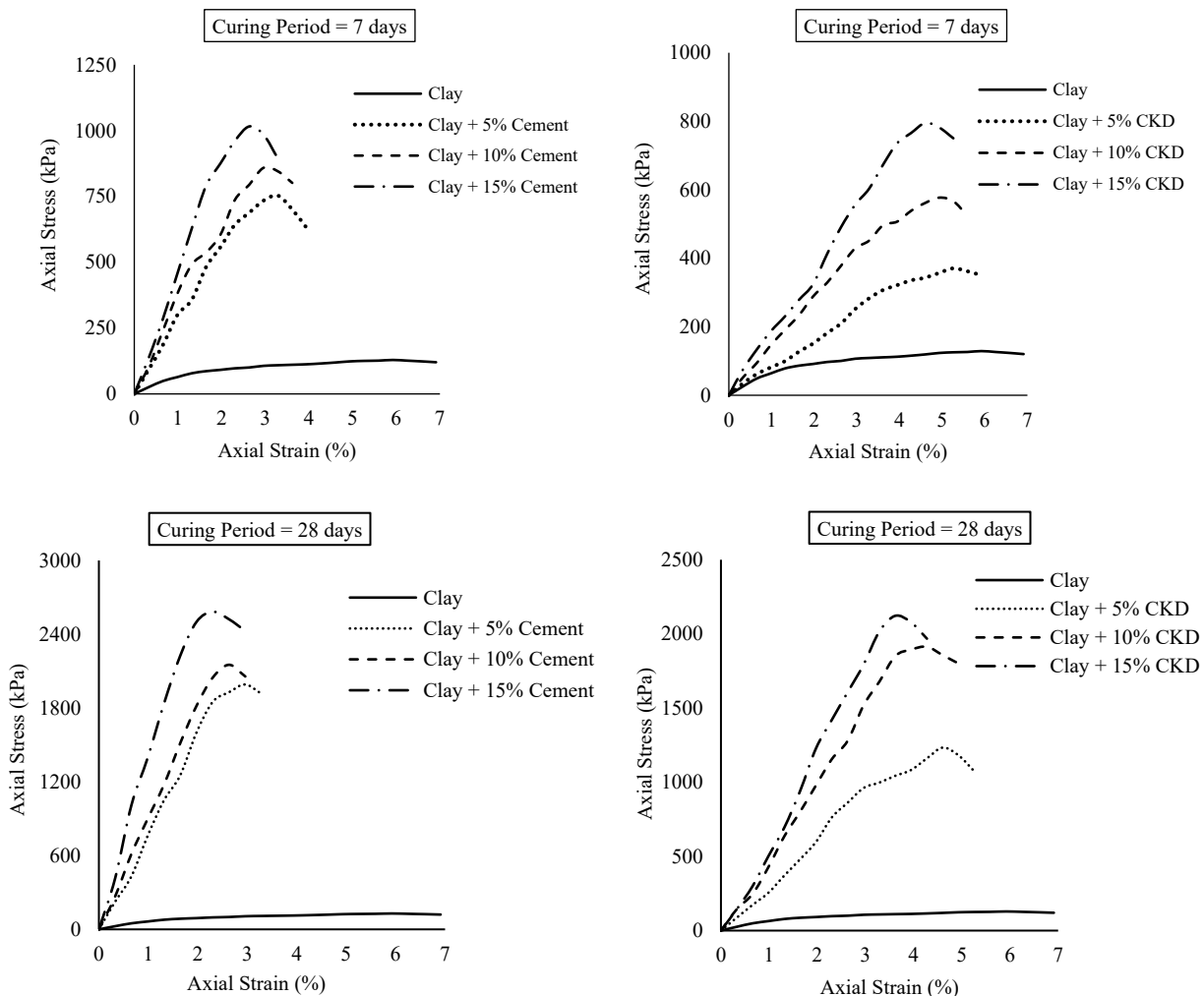


شکل ۶. تاثیر سیمان و غبار کوره سیمان (CKD) بر مقاومت فشاری محصورنشده نمونه‌ها در زمان‌های عمل‌آوری مختلف
Fig. 6. Effect of addition of cement and CKD on UCS of kaolinite clay after 7 and 28 days curing

کوره سیمان افزایش یافته‌است و مقدار این افزایش در نمونه‌های حاوی سیمان بسیار بیشتر از نمونه‌های حاوی غبار کوره سیمان است؛ به طوری که مقاومت نمونه با ۱۵ درصد CKD تقریباً برابر با مقاومت نمونه با ۱۰ درصد سیمان پس از ۲۸ روز عمل‌آوری می‌باشد. مقاومت خاک رس کائولینیت (۱۲۹ کیلوپاسکال) با افزودن ۱۵ درصد سیمان به ۱۰۱۵ و با افزودن ۱۵ درصد CKD به ۷۹۵ کیلوپاسکال پس از ۷ روز عمل‌آوری می‌رسد. از منحنی‌های تنش-کرنش (شکل ۷) مشخص است که با افزودن سیمان و غبار کوره سیمان، کرنش متناظر با تنش محوری ماقزیم کاهش یافته و رفتار خاک شکننده‌تر شده‌است؛ در نتیجه سختی نمونه‌ها به میزان قابل توجهی افزایش یافته‌است. بهبود خواص مهندسی خاک به دلیل استفاده از افزودنی‌های شیمیایی می‌تواند با دو واکنش اساسی توضیح داده شود: ۱- واکنش‌های کوتاه مدت شامل تعویض کاتیونی و فلوکولاژیون و ۲- واکنش‌های بلند مدت که واکنش پوزولانی نامیده می‌شود [۴ و ۲۸]. تولید محصولات سیمانی مانند کلسیم‌سیلیکات‌هیدرات (C-S-H) و کلسیم‌آلومینات‌هیدرات (C-A-H) از نتایج این واکنش‌های پوزولانی هستند. اندرکنش بین ترکیبات قلیایی در غبار کوره سیمان در حضور آب یک محیط با pH بالا ایجاد کرده که می‌تواند بخشی از ساختار رس را با حل کردن سیلیکات و آلومینای موجود در رس ناپایدار کند. این سیلیکا و آلومینای جدا شده از ساختار رس با کلسیم‌هیدروکسید ایجاد شده از واکنش‌های پوزولانی، ترکیب شده و ژل‌های ثانویه

داده شده‌است. همان‌طور که مشاهده می‌شود، افزودن سیمان و غبار کوره سیمان منجر به افزایش درصد رطوبت بهینه و کاهش دانسیته خشک حداکثر می‌شود. ۱۵ درصد سیمان و ۱۵ درصد CKD دانسیته خشک حداکثر خاک را از ۱۷ به ترتیب به ۱۵/۷ و ۱۵/۵ کیلونیوتن بر مترمکعب و مقدار رطوبت بهینه را از ۱۶/۲ به ترتیب به ۲۰ و ۲۱ درصد می‌رساند. افزایش رطوبت بهینه به دلیل ماهیت آب دوست بودن کلسیم‌اکسید است [۱۳]. همچنین سطح مخصوص ذرات سیمان و CKD نسبت به سطح مخصوص ذرات خاک بیشتر است که در نتیجه آن به آب بیشتری جهت روغن کاری و ایجاد تراکم بهتر نیاز دارد. نمونه‌های حاوی سیمان دانسیته خشک حداکثر بیشتری نسبت به نمونه‌های حاوی غبار کوره سیمان دارند. فلوكولاژيون ذرات به دلیل حضور سیمان و CKD باعث ایجاد حفرات بزرگ‌تر می‌شود که کاهش دانسیته خشک حداکثر را به دنبال دارد. کاهش دانسیته خشک را می‌توان به کمتر بودن چگالی ویژه سیمان و CKD نسبت به چگالی ویژه خاک رس کائولینیت نیز نسبت داد.

۴-۳-۴- آزمایش مقاومت فشاری محصورنشده
شکل ۶ تاثیر سیمان و CKD را بر مقاومت فشاری محصورنشده پس از ۷ و ۲۸ روز عمل‌آوری نشان می‌دهد. برای هر نمونه نتایج مقاومت فشاری محصورنشده برای ۳ تکرار متوضوگیری شده و در این شکل ارائه گردید. مقاومت نمونه‌ها با افزودن سیمان و غبار



شکل ۷. منحنی تنش-کرنش نمونه‌های حاوی سیمان و غبار کوره سیمان (CKD) در آزمایش مقاومت فشاری محصورنشده در دوره‌های عمل‌آوری مختلف

Fig. 7. Stress-strain curves of clay stabilized by cement and CKD after 7 and 28 days curing

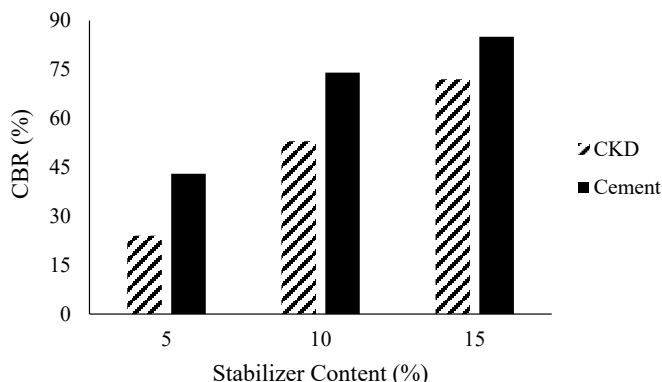
مورد استفاده قرار گرفتند. سطح اطمینان $\alpha = 0.05$ به منظور بررسی فرضیه صفر (تمام نمونه‌ها از نظر آماری یکسان هستند) انتخاب گردید. همچنین به منظور مقایسه گروهی و تمام جفت‌های ممکن روش Tukey-Kramer استفاده گردید. جدول ۴ نتایج آنالیز آماری صورت گرفته بر نتایج آزمون مقاومت فشاری محصورنشده را نشان می‌دهد. برای هر نمونه ۳ تکرار به کار رفته در آنالیز مورد ارزیابی قرار گرفت. مطابق نتایج جدول ۴، اثر تثبیت‌کننده‌ها (سیمان و غبار کوره سیمان) در هر ۳ درصد (۵، ۱۰ و ۱۵) قابل ملاحظه بوده است. بر اساس نتایج روش Tukey-Kramer همه نمونه‌ها در عمل‌آوری ۷ روزه با هم اختلاف معناداری دارند اما پس از اعمال آنالیز آماری در نمونه‌های عمل‌آوری شده در ۲۸ روز ملاحظه گردید که نمونه تثبیت

کلسیم سیلیکات‌هیدرات یا کلسیم‌آلومینات‌هیدرات را ایجاد می‌کند. این ترکیبات سیمانی تشکیل شده حجم فضاهای خالی را کاهش می‌دهد و ذرات خاک را بهم می‌چسباند. واکنش‌های پوزولانی وابسته به زمان و دما هستند؛ بنابراین با افزایش دوره عمل‌آوری فرایند هیدراسيون ادامه پیدا کرده و ترکیبات سیمانی بیشتری تولید می‌شود.

مطابق آنالیز آماری صورت گرفته بر نتایج حدود اتربرگ در بخش ۱-۴، در این بخش نیز آنالیز آماری بر نتایج آزمون‌های بررسی مقاومت خاک تثبیت‌شده با سیمان و غبار کوره سیمان صورت پذیرفت. مقاومت فشاری محصورنشده در سن عمل‌آوری ۷ و ۲۸ روزه به عنوان متغیر پاسخ به منظور ارزیابی اثر تثبیت‌کننده‌ها بر خصوصیات ژئوتکنیکی

جدول ۴. آنالیز آماری بر نتایج آزمون مقاومت فشاری محصورشده
Table 4. Statistical analysis of UCS test results

آزمون	نتایج آزمون آنالیز واریانس				نتایج آزمون مقایسه گروهی Tukey-Kramer						
	Adj. MS	F-Value	P-Value								
مقاومت فشاری محصورشده ۷ روزه	تشییت کننده	۲۸۱۷۲۲	۲۰۲۶/۸۸	.۰/۰۰۰	C15	A					
			C15	.۰/۰۰۰	C10	B					
			C10	.۰/۰۰۰	CKD15		C				
			C5	.۰/۰۰۰	C5		D				
			CKD15	.۰/۰۰۰	CKD10			E			
			CKD10	.۰/۰۰۰	CKD5				F		
			CKD5	.۰/۰۰۰	Raw						G
مقاومت فشاری محصورشده ۲۸ روزه	تشییت کننده	۱۱۹۰۹۵۵۱	۱۷۵۵۹/۰۵	.۰/۰۰۰	C15	A					
			C15	.۰/۰۰۰	C10	B					
			C10	.۰/۰۰۰	CKD15	B					
			C5	.۰/۰۰۰	C5		C				
			CKD15	.۰/۰۰۰	CKD10		D				
			CKD10	.۰/۰۰۰	CKD5			E			
			CKD5	.۰/۰۰۰	Raw				F		



شکل ۸. تأثیر سیمان و غبار کوره سیمان (CKD) بر مقدار نسبت باربری کالیفرنیای نمونه‌ها پس از ۷ روز عمل‌آوری
Fig. 8. Effect of cement and CKD addition on CBR values of kaolinite clay after 7 days curing

آمده است. مقادیر ارائه شده در این شکل حاصل متوسط‌گیری نتایج آزمون برای سه تکرار در هر نمونه است. همانند مقاومت فشاری محصورشده، افزودن سیمان و CKD نسبت باربری کالیفرنیای نمونه‌ها را افزایش می‌دهد. مقدار CBR خاک رس کائولینیت از ۳ درصد به ۴۳، ۷۴ و ۸۵ درصد به ترتیب برای نمونه‌ها با ۵، ۱۰ و ۱۵ درصد سیمان رسید. ۱۵ درصد غبار کوره سیمان، CBR خاک را ۲۴ برابر افزایش می‌دهد. افزایش نسبت باربری کالیفرنیای مخلوطها

شده با ۱۵ درصد غبار کوره سیمان با نمونه تشییت شده با ۱۰ درصد سیمان، مقاومت فشاری محصورشده برابری دارد.

۴-۴- آزمایش نسبت باربری کالیفرنیا

آزمایش نسبت باربری کالیفرنیا بر اساس مقاومت خاک در برابر نفوذ، ظرفیت باربری خاک را مشخص می‌کند. نسبت باربری کالیفرنیا در شرایط اشبع برای نمونه‌ها پس از ۷ روز عمل‌آوری در شکل ۸

جدول ۵. آنالیز آماری بر نتایج آزمون نسبت باربری کالیفرنیا
Table 5. Statistical analysis of CBR test results

آزمون	نتایج آزمون آنالیز واریانس				نتایج آزمون مقایسه گروهی Tukey-Kramer					
	Adj. MS	F-Value	P-Value							
نسبت باربری کالیفرنیا ۷ روزه	ثبتیت‌کننده	۲۶۱۲/۸۶	۱۴۳۷/۸۹	./....		C15	A			
			C15	./....	C10		B			
			C10	./....	CKD15		B			
			C5	./....	C5			C		
			CKD15	./....	CKD10			D		
			CKD10	./....	CKD5				E	
			CKD5	./....	Raw					F

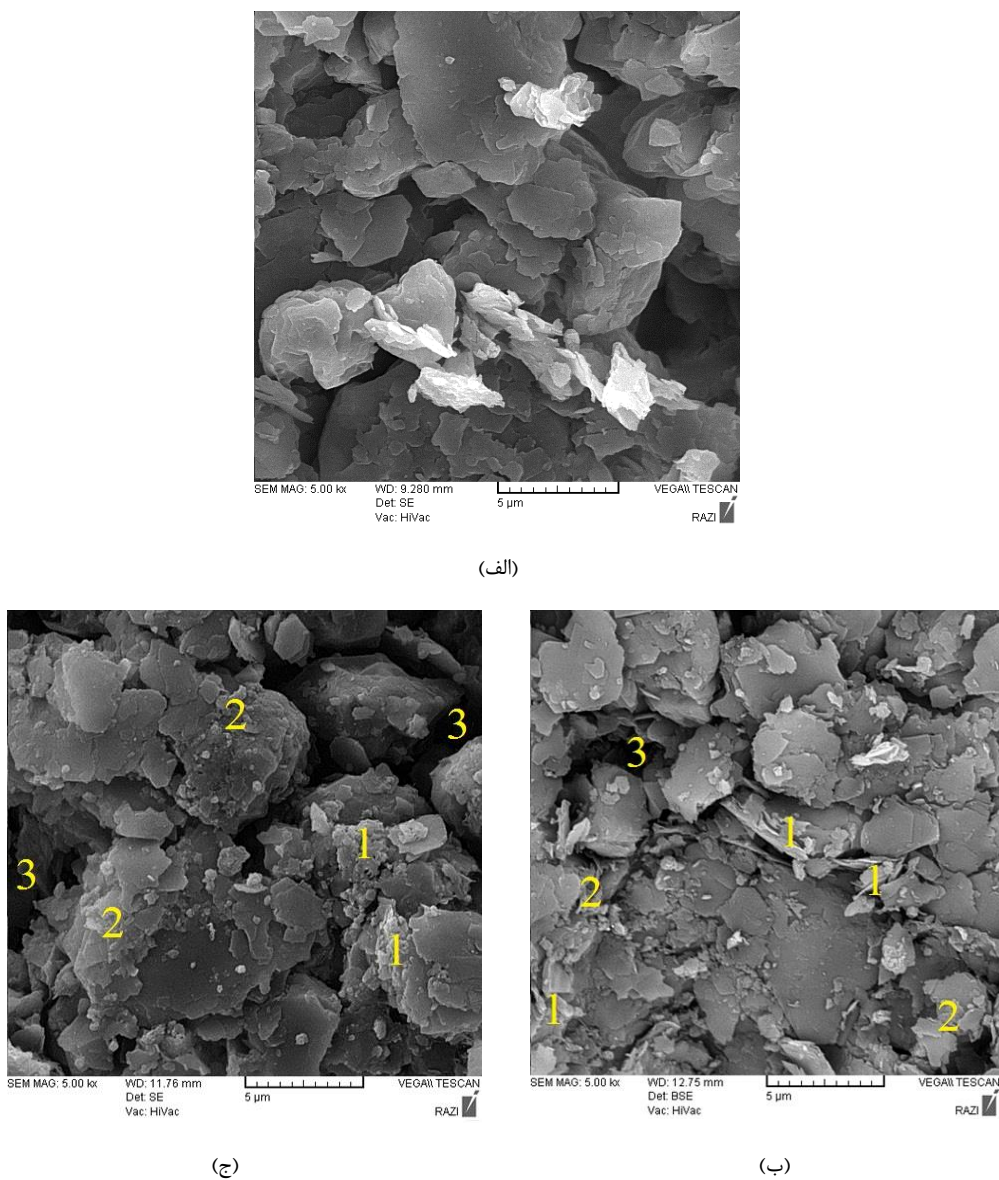
نشان می‌دهد که محصولات هیدراسيون با گذر زمان افزایش می‌یابند.
[۱۷]

۵- نتیجه‌گیری
در این مقاله به بررسی و مقایسه پارامترهای ژئوتکنیکی خاک رس کائولینیت ثبتیت‌شده با سیمان و غبار کوره سیمان (CKD) پرداخته شد. به این منظور پس از مخلوط خاک رس کائولینیت با ۵، ۱۰ و ۱۵٪ نسبت به وزن خشک خاک) سیمان و CKD، آزمایش‌های حدود اتربرگ، تراکم، مقاومت فشاری محصورنشده و نسبت باربری کالیفرنیا بر نمونه‌ها انجام شد. جهت بررسی اثر افزودنی‌ها بر ریزاساختار خاک، نمونه‌ها به وسیله میکروسکوپ الکترونی مورد عکس‌برداری قرار گرفتند. نتایج این پژوهش نشان می‌دهد:

- افزودن سیمان و غبار کوره سیمان حد روانی و حد خمیری خاک رس را افزایش می‌دهد. با افزودن غبار کوره سیمان شاخص پلاستیسیته ابتدا افزایش و سپس کاهش می‌یابد. تولید محصولات سیمانی در اثر افزودن سیمان باعث تغییر بافت خاک و اندازه مؤثر دانه‌ها شده و در نتیجه مقدار رطوبت جذب شده به این ذرات کاهش یافته و پلاستیسیته خاک کمتر می‌شود.
- سیمان و غبار کوره سیمان منجر به افزایش درصد رطوبت بهینه و کاهش دانسیته خشک حداکثر خاک رس کائولینیت می‌گردد. سطح مخصوص ذرات سیمان و CKD نسبت به سطح مخصوص ذرات خاک بیشتر است که در نتیجه آن به آب بیشتری جهت روغن‌کاری و ایجاد تراکم بهتر نیاز دارد.

به دلیل تشکیل محصولات سیمانی و درنتیجه اتصال ذرات خاک و ثبتیت‌کننده‌ها است که با بیشتر شدن مقدار افزودنی، این محصولات سیمانی بیشتر شده و مقدار CBR افزایش می‌یابد. جدول ۵ مطابق بخش ۳-۴ نتایج آنالیز آماری صورت‌گرفته بر نتایج آزمون نسبت باربری کالیفرنیا را نشان می‌دهد. برای هر نمونه ۳ تکرار به کار رفته در آنالیز مورد ارزیابی قرار گرفت. مطابق نتایج جدول ۵، اثر ثبتیت‌کننده‌ها قابل ملاحظه بوده است. بر اساس نتایج روش-Tukey Kramer در عمل‌آوری ۷ روزه نمونه ثبتیت‌شده با ۱۵ درصد غبار کوره سیمان با نمونه ثبتیت شده با ۱۰ درصد سیمان، نسبت باربری مشابهی داشت.

۴-۵- آنالیز میکروسکوپ الکترونی روبشی
آنالیز میکروسکوپ الکترونی روبشی بر سه نمونه خاک رس کائولینیت، خاک ثبتیت‌شده با ۱۵ درصد سیمان و خاک حاوی ۱۵ درصد غبار کوره سیمان پس از ۲۸ روز عمل‌آوری انجام شد. همان‌طور که از شکل ۹-الف مشخص است خاک رس کائولینیت با آرایش ورقه‌ای دارای حفرات زیادی است. محصولات هیدراسيون ناشی از افزودن سیمان و غبار کوره سیمان، مطابق شکل ۹-ب و ۹-ج تخلخل بین ذرات را پر می‌کند و موجب اتصال ذرات خاک به یکدیگر می‌شود و ماتریس منسجم‌تری نسبت به نمونه خاک طبیعی از خود نشان می‌دهد. مقدار ژل تولیدشده کلسیم‌سیلیکات‌هیدرات و کلسیم‌آلومینات‌هیدرات در نمونه حاوی سیمان بیشتر از نمونه ثبتیت‌شده با CKD است و در نتیجه حفرات کمتری دارد. مطالعات



شکل ۹. تصاویر میکروسکوپ الکترونی؛ (الف) خاک رس کاتولینیت، (ب) خاک رس کاتولینیت + ۱۵ درصد سیمان، (ج) خاک رس کاتولینیت + ۱۵ درصد غبار کوره سیمان. (۱) محصولات هیدراسيون، (۲) ساختار فلوکوله، (۳) حفرات

Fig. 9. Scanning electron micrograph of specimens (a) kaolinite clay (b) kaolinite clay+15% cement (c) kaolinite clay+15% CKD (1. Hydration products, 2. Flocculation structure, 3. Voids)

ماتریس منسجمتری نسبت به نمونه خاک طبیعی از خود نشان دهنده با افزایش دوره عمل آوری فرایند هیدراسيون ادامه پیدا کرده و ترکیبات سیمانی بیشتری تولید می‌شود؛ بنابراین مقاومت فشاری محصورنشده نمونه‌ها با افزایش دوره عمل آوری افزایش می‌یابد.

از منحنی‌های تنش-کرنش مشخص شد با افزودن سیمان و CKD، کرنش متناظر با تنش محوری ماقریم کاهش می‌یابد و رفتار خاک شکننده‌تر می‌شود؛ در نتیجه سختی نمونه‌ها به میزان قابل توجهی افزایش می‌یابد. باید توجه داشت که در برخی موارد

- مقاومت فشاری محصورنشده و مقاومت CBR نمونه‌ها با افزودن سیمان و CKD افزایش می‌یابد و مقدار این افزایش در نمونه‌های حاوی سیمان بیشتر از نمونه‌های حاوی غبار کوره CKD است. علت افزایش مقاومت با افزودن سیمان و CKD سیمان ناشی از تولید محصولات سیمانی مانند کلسیم‌سیلیکات‌هیدرات و کلسیم‌آلومینات‌هیدرات می‌باشد. تصاویر میکروسکوپ الکترونی نشان می‌دهد محصولات سیمانی حجم فضاهای خالی را کاهش داده و ذرات خاک را به هم متصل می‌کند و موجب می‌شود نمونه‌های ثبیت شده

composition on cement stabilization, 17(2) (1967) 119-135.

[9] R. Feiz, J. Ammenberg, L. Baas, M. Eklund, A. Helgstrand, R.J.J.o.C.P. Marshall, Improving the CO₂ performance of cement, part I: utilizing life-cycle assessment and key performance indicators to assess development within the cement industry, 98 (2015) 272-281.

[10] A.M.J.J.o.C.P. Rashad, An exploratory study on high-volume fly ash concrete incorporating silica fume subjected to thermal loads, 87 (2015) 735-744.

[11] F.M. Nejad, M. Habibi, P. Hosseini, H.J.J.o.C.P. Jahanbakhsh, Investigating the mechanical and fatigue properties of sustainable cement emulsified asphalt mortar, 156 (2017) 717-728.

[12] Z.A.J.E.S. Baghdadi, Jeddah, Scientific Publication Center, King Abdul Aziz University, Utilization of kiln dust in clay stabilization, 2 (1990) 153-163.

[13] Z. Baghdadi, M. Fatani, N.J.J.o.M.i.C.E. Sabban, Soil modification by cement kiln dust, 7(4) (1995) 218-222.

[14] G.A. Miller, S.J.C. Azad, b. materials, Influence of soil type on stabilization with cement kiln dust, 14(2) (2000) 89-97.

[15] K. Carlson, F. Sariosseiri, B.J.G. Muhunthan, G. Engineering, Engineering properties of cement kiln dust-modified soils in Western Washington State, 29(5) (2011) 837-844.

[16] R. Siddique, Waste materials and by-products in concrete, Springer Science & Business Media, 2007.

[17] S. Peethamparan, J. Olek, J.J.C. Lovell, c. research, Influence of chemical and physical characteristics of cement kiln dusts (CKDs) on their hydration behavior and potential suitability for soil stabilization, 38(6) (2008) 803-815.

[18] W.J. McCoy, R. W. Kriner, Use of waste kiln dust for soil Consolidation, Lehigh Portland Cement Co., Allentown, Pennsylvania, U.S.A., 1971

[19] A.J. Alrubaye, M. Hasan, M.Y.J.I.J.o.G.E. Fattah, Stabilization of soft kaolin clay with silica fume and lime, 11(1) (2017) 90-96.

[20] M. Kamon, S.J.J.o.g.e. Nontananandh, Combining

در صورتی که تخلخل اولیه خاک زیاد است، مقاومت افزایش یافته که ناشی از سیمانته شدن می باشد با افزایش تنش به شدت کاهش می یابد و خاک رفتار نرم شونده از خود نشان می دهد که ناشی از درهم شکسته شدن ساختار خاک است. این نوع رفتار بیشتر تحت بارهای دینامیکی یا ضربه ای ایجاد می شود؛ بنابراین باید برای این نوع رفتار شکننده خاک تثبیت شده با سیمان و غبار کوره سیمان تدبیری اندیشید.

- نتایج نشان داد که مقاومت فشاری محصور نشده نمونه با ۱۵ درصد CKD تقریباً برابر با مقاومت نمونه با ۱۰ درصد سیمان پس از ۲۸ روز عمل آوری می باشد؛ بنابراین می توان از CKD به جای سیمان در تثبیت خاک های رسی استفاده کرد و مصرف سیمان را کاهش داد.

مراجع

- [1] W.A. Dunlap, J.A. Epps, B. Biswass, B.M. Gallaway, United States Air Force Soil Stabilization Index System-A Validation, TEXAS A AND M UNIV COLLEGE STATION, 1975.
- [2] E. Basha, R. Hashim, H. Mahmud, A.J.C. Muntohar, b. materials, Stabilization of residual soil with rice husk ash and cement, 19(6) (2005) 448-453.
- [3] A.A. Al-Rawas, A. Hago, H.J.B. Al-Sarmi, Environment, Effect of lime, cement and Sarooj (artificial pozzolan) on the swelling potential of an expansive soil from Oman, 40(5) (2005) 681-687.
- [4] M. Asgari, A.B. Dezfuli, M.J.A.J.o.G. Bayat, Experimental study on stabilization of a low plasticity clayey soil with cement/lime, 8(3) (2015) 1439-1452.
- [5] S.H. Bahmani, B.B. Huat, A. Asadi, N.J.C. Farzadnia, B. Materials, Stabilization of residual soil using SiO₂ nanoparticles and cement, 64 (2014) 350-359.
- [6] A. Herzog, J.K.J.H.R.R. Mitchell, Reactions accompanying stabilization of clay with cement, (36) (1963).
- [7] D. Bergado, L. Anderson, N. Miura, A. Balasubramaniam, Soft ground improvement in lowland and other environments, in, AsCE, 1996.
- [8] J.J.G. Croft, The influence of soil mineralogical

- ASTM International, West Conshohocken, PA, 2000.
- [25] ASTM D2166 / D2166M13-. Standard Test Method for Unconfined Compressive Strength of Cohesive Soil. ASTM International, West Conshohocken, PA, 2013.
- [26] ASTM D99-1883. Standard Test Method for CBR (California Bearing Ratio) of Laboratory-Compacted Soils. ASTM International, West Conshohocken, PA, 1999.
- [27] F.M. Nejad, A. Modarres, Soil stabilization with waterproof cement for road applications. *Amirkabir J. Civil Eng.*, 42 (1) (2010) 63-5.
- [28] J. Milburn, R. Parsons, Performance of soil stabilization agents, University of Kansas, Lawrence, 2014; Report no. K-TRAN: KU8-01
- industrial wastes with lime for soil stabilization, 117(1) (1991) 1-17.
- [21] ASTM D05-4318. Standard Test Methods for Liquid Limit, Plastic Limit, and Plasticity Index of Soils. ASTM International, West Conshohocken, PA, 2005.
- [22] ASTM D11-2487. Standard Practice for Classification of Soils for Engineering Purposes (Unified Soil Classification System). ASTM International, West Conshohocken, PA, 2011.
- [23] ASTM D02-854. Standard Test Method for Specific Gravity of Soil Solids by Water Pycnometer. ASTM International, West Conshohocken, PA, 2002.
- [24] ASTM D00-698a. Standard Test Methods for Laboratory Compaction Characteristics of Soil Using Standard Effort.

چگونه به این مقاله ارجاع دهیم

S. Ghavami, H. Jahanbakhsh, F. Moghadas Nejad, *Laboratory study on stabilization of kaolinite clay with cement and cement kiln dust*, *Amirkabir J. Civil Eng.*, 52(4) (2020) 935-948.

DOI: [10.22060/ceej.2018.15100.5829](https://doi.org/10.22060/ceej.2018.15100.5829)

